

# 中能 $p-^{12}C$ 散射截面和自旋量的研究\*

何 澄 明

(贵州师范大学物理系, 贵阳 550001)

李 清 润

(中国科学院高能物理研究所, 北京 100039)

## 摘要

应用 Glauber 多次散射理论, 对于  $p-^{12}C$  弹性散射微分截面和自旋观测量在整个中能区进行了系统性的计算。与实验结果比较显示, 理论与实验间有一定的偏离。

## 一、引言

中能质子核散射为研究原子核提供了一个有力的手段。到目前为止已进行过相当数量的实验与理论上的研究。特别是在实验方面, 近年来有了不少的进展<sup>[1-3]</sup>。一方面, 改变了过去只有 1GeV 能量下的实验数据的情况, 近年来已在中能区内的不同能量下进行了实验测量。另一方面, 随着实验技术的进步, 已经提供出一定数量极化测量的数据。这些实验结果的出现, 为检验各种核模型开辟了一个新的领域。

最近, 周金礼等基于  $^{12}C$  核的  $3\alpha$  结构观点, 应用 Glauber 多次散射理论研究了整个中能区的质子与  $^{12}C$  原子核的散射<sup>[4]</sup>。结果表明, 除了在较高能量下的微分截面的第二个极大值附近外, 理论在描述实验结果, 特别是极化数据上获得了相当的成功。因此, 自然地提出了一个问题: 传统的  $^{12}C$  的核子组成模型在同样的理论框架下描述实验的能力如何?

本文研究的目的, 就是要回答这一问题。

在 1GeV 能量下, 质子与  $^{12}C$  的弹性散射微分截面, 过去曾被很多人计算过。对于极化效应的计算则相对较少。使用从分析两核子实验而得到的自由  $p-N$  振幅去得到  $p-^{12}C$  散射的极化, 这种不调节任何参数的计算, 在 1GeV 能量下曾为 Alkhazov 等人进行过<sup>[5]</sup>。在当时仅有这一能量下的  $p-^{12}C$  极化测量存在。最近, 文献[1]中发表了能量为 200、400、600、700MeV 的质子与  $^{12}C$  核的弹性散射的微分截面和极化的实验结果, 这样, 再加上从前已有的 1000MeV 的实验结果, 便构成了一组涵盖整个中能区的系统性的实验数据。本文中, 我们将从现有的自由  $p-N$  振幅出发, 在多次散射理论下计算整个中能

本文 1990 年 10 月 25 日收到。

\* 国家自然科学基金资助课题。

区的  $p-^{12}C$  弹性散射的微分截面和极化量，并与上述实验结果进行比较。

## 二、理论公式与基本输入量

大量研究表明，多次散射理论能够成功地描述中能质子与原子核的散射过程。本文中，我们应用 Glauber 多次散射理论来计算中能  $p-^{12}C$  散射。

根据 Glauber 理论<sup>[6]</sup>，一个人射质子从原子核  $A$  上的散射振幅为

$$F(\mathbf{q}) = \frac{i k_p}{2\pi} \int d^2 b e^{i \mathbf{q} \cdot \mathbf{b}} \Gamma_{00}(\mathbf{b}), \quad (1)$$

式中  $k_p$  是入射质子在  $p$ -核质心系中的动量， $\Gamma_{00}(\mathbf{b})$  为剖面函数，可以表示为

$$\Gamma_{00}(\mathbf{b}) = \left\langle 0 \left| 1 - \prod_{i=1}^A [1 - r(\mathbf{b} - \mathbf{s}_i)] \right| 0 \right\rangle, \quad (2)$$

其中， $|0\rangle$  代表核基态， $r(\mathbf{b})$  为基本过程的剖面函数，它可以由质子与核子间的散射振幅  $f$  来求得：

$$r(\mathbf{b}) = \frac{1}{2\pi i k_{pN}} \int d^2 q' e^{-i \mathbf{q}' \cdot \mathbf{b}} f(\mathbf{q}'). \quad (3)$$

通常，在只研究微分截面的计算中， $f(q)$  取为只包含中心力的散射振幅形式，即只包含与自旋无关项的振幅。但如果要研究入射质子的自旋效应，则  $f$  必须包括与自旋有关的部分。众所周知，两个核子间的完全振幅应包括五项。但对于自旋为零的原子核，其中的三项贡献可以略去，因而只包括自旋无关项和自旋轨道耦合项两项。在此情况下，两个核子的散射振幅可以表示为

$$f(q) = f_c(q) + f_s(q)(\sigma_1 + \sigma_2) \cdot \mathbf{n}, \quad (4)$$

这里， $\sigma_1$  和  $\sigma_2$  分别代表两个核子的自旋， $\mathbf{n}$  是与散射平面垂直的单位矢量，定义为

$$\mathbf{n} = \mathbf{k}_i \times \mathbf{k}_f / |\mathbf{k}_i \times \mathbf{k}_f|.$$

如同在大多数计算中所采用的，如果原子核的基本密度取为单粒子乘积的形式，则质子与原子核散射的振幅可以表示为

$$F(q) = F_c(q) + F_s(q)\sigma \cdot \mathbf{n}, \quad (5)$$

这里  $\sigma$  是入射质子的自旋，而  $F_c$  和  $F_s$  为

$$F_c(q) = ik_p \Theta(q) \left\{ 1 - \frac{1}{2} [(1 + \gamma_c + \gamma_s)^4 + (1 + \gamma_c - \gamma_s)^4] \right\} J_0(qb) b db, \quad (6)$$

$$F_s(q) = k_p \Theta(q) \int \frac{1}{2} [(1 + \gamma_c + \gamma_s)^4 - (1 + \gamma_c - \gamma_s)^4] J_1(qb) b db, \quad (7)$$

(6)和(7)中， $\Theta(q) = \exp(a^2 q^2 / 4A)$  是质心运动修正因子，函数  $\gamma_c$  和  $\gamma_s$  可以通过基本振幅  $f$  和核的形状因子  $S(q)$  得到，其表示式为

$$\gamma_c(b) = \frac{i}{k_{pN}} \int J_0(qb) \gamma(q) f_c(q) q dq, \quad (8)$$

$$\gamma_s(b) = \frac{1}{k_{pN}} \int J_1(qb) S(q) f_s(q) q dq. \quad (9)$$

在本文的计算中， $^{12}C$  的单核子密度取为谐振子形式，即

$$\rho(r) = \rho_0 \left(1 + \frac{4}{3} \frac{r^2}{a^2}\right) e^{-r^2/a^2}, \quad (10)$$

其中谐振子参数  $a$  由电子散射确定,  $a^2 = 2.5 \text{ fm}^2$  [7].

在中高能的计算中, 作为基本输入量的  $p-N$  振幅通常采取参数化的高斯函数形式<sup>[8]</sup>, 即取为

$$f_c(q) = \frac{k_{pN\sigma_T}}{4\pi} (i + \alpha_c) \exp\left(-\frac{1}{2} \beta_c q^2\right), \quad (11)$$

$$f_s(q) = D_s \frac{k_{pN\sigma_T}}{4\pi} (i + \alpha_s) i \sqrt{\frac{q^2}{4M^2}} \exp\left(-\frac{1}{2} \beta_s q^2\right), \quad (12)$$

其中  $\sigma_T$  为两核子散射的总截面,  $M$  为核子的质量,  $D_s$  为自旋轨道振幅的相对强度.  $\alpha_c$ ,  $\alpha_s$  和  $\beta_c$ ,  $\beta_s$  分别为向前振幅的实虚比和斜率参数. 本文所使用的  $p-N$  振幅参数取自文献[9,10], 这些参数都是通过分析各种能量下的  $p-p$  和  $p-n$  散射数据而得到的.

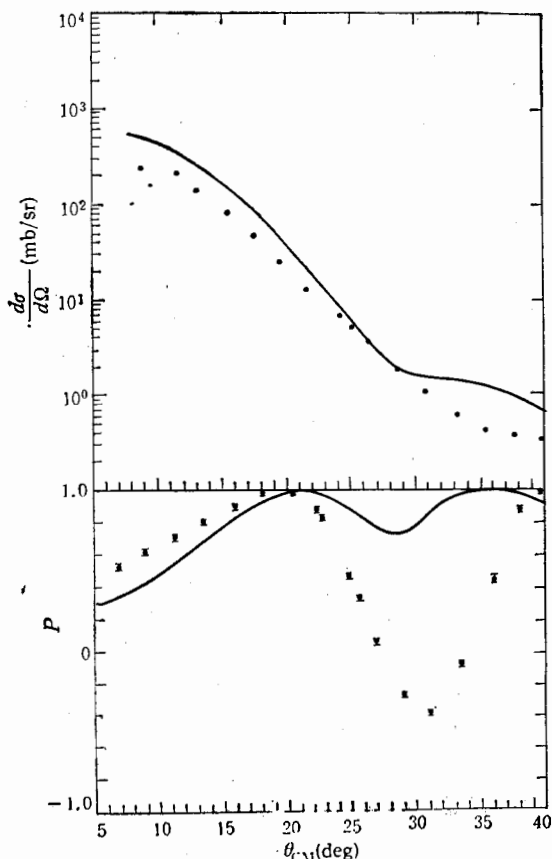


图 1 200 MeV 下  $p-^{12}C$  弹性散射的微分截面和极化  
实验数据取自[1]

通过(8)–(12)各式可求出(6), (7)式中的  $F_c$  和  $F_s$ , 最后得到  $p-^{12}C$  散射的微分截面、分析能力和自旋转动量 (spin rotation) 分别为

$$\frac{d\sigma}{dQ} = |F_c|^2 + |F_s|^2, \quad (13)$$

$$P = 2\operatorname{Re}(F_c F_s^*) / (|F_c|^2 + |F_s|^2), \quad (14)$$

$$Q = 2\operatorname{Im}(F_c F_s^*) / (|F_c|^2 + |F_s|^2). \quad (15)$$

### 三、结果与讨论

如前所述，目前已经有了覆盖整个中能区的  $p-^{12}\text{C}$  散射的截面和极化量的测量数据，因此，这些实验结果可以对任何的核模型提供一个系统性的、比单一能量要严厉得多的检验。

为了和实验比较，我们计算了与实验相应的入射能量分别为 200, 400, 600, 700 和 1000 MeV 的  $p-^{12}\text{C}$  弹性散射的微分截面和自旋观测量  $P$  与  $Q$ 。计算中所使用的自由  $p-N$  散射振幅参数，对于 200, 400 MeV 情况取自文献[9]，对于 600, 700 和 1000 MeV 取自文献[10]。理论计算结果和实验数据绘在图 1—6 中。

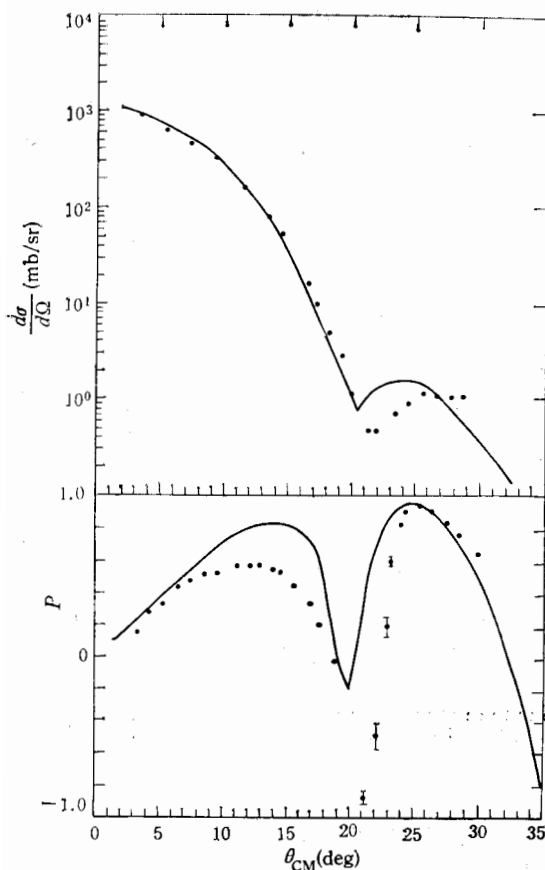


图 2 400 MeV 下  $p-^{12}\text{C}$  弹性散射微分截面和极化  
实验数据取自[1]

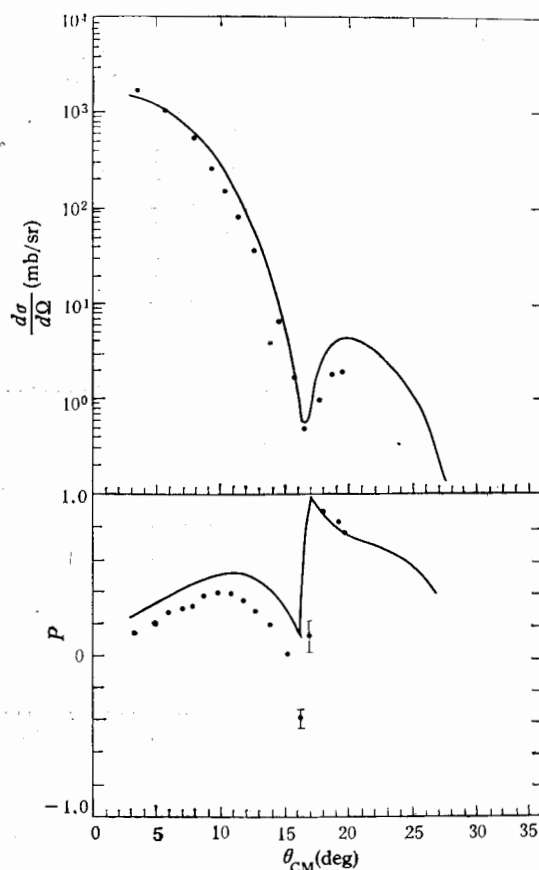


图 3 600 MeV 下  $p-^{12}\text{C}$  弹性散射微分截面和极化  
实验数据取自[1]

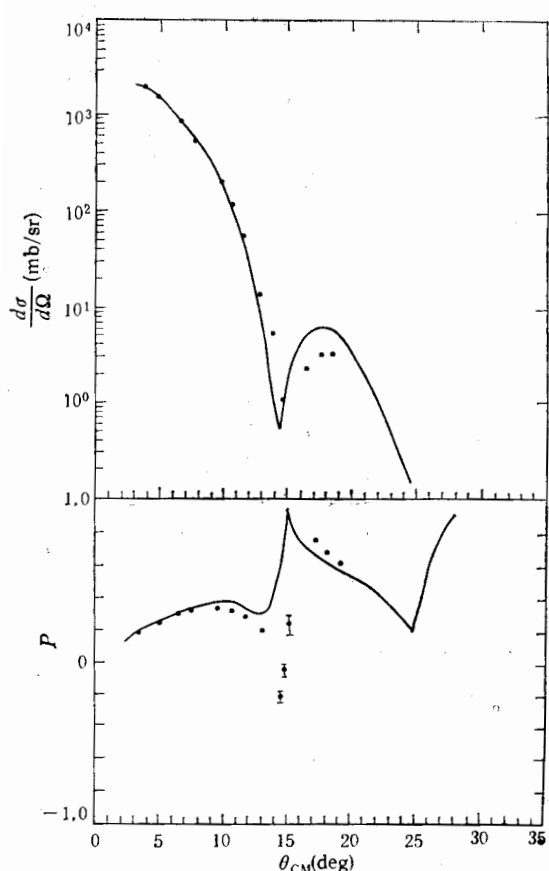


图 4 700 MeV 下  $p-^{12}C$  弹性散射  
微分截面和极化实验数据取自[1]

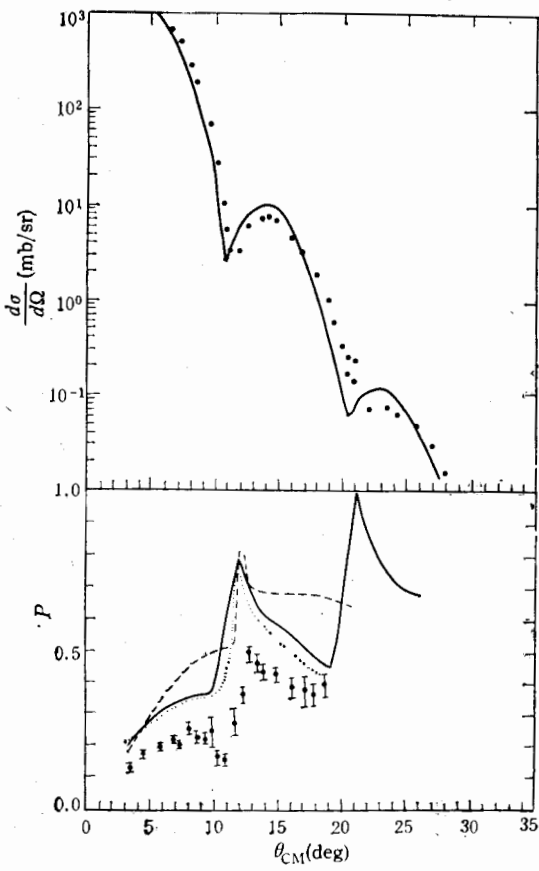


图 5 1000 MeV 下  $p-^{12}C$  弹性散射  
微分截面和极化实验数据取自[5]

图 1—5 中, 分别给出了 200, 400, 600, 700 和 1000 MeV 的微分截面  $d\sigma/dQ$  和自旋的分析能力  $P$ , 并与相应的实验结果进行比较。由于自旋转动量  $Q$  值的测量比较困难, 目前对于  $^{12}C$  原子核只有 200 MeV 的实验数据可利用, 因此我们这里仅给出这一能量下的结果, 和实验数据一起在图 6 中给出。对于其它能量下  $Q$  的计算结果这里就不再给出了。

在所有的图中, 实线为本文的计算结果。为了比较, 前人在同样模型下的计算结果也绘在同一图中。因为只有 Alkhazov 等人在 1000 MeV 能量情况下做过和本文相似的计算, 因此只在图 5 (1000 MeV 情况) 中绘出他们的结果, 用虚线代表, 其中长虚线和短虚线分别对应两组不同的自由  $p-N$  振幅参数<sup>[3]</sup>。短虚线所对应的振幅参数和本文中所使用的一样, 但本文使用谐振子核子分布密度, 而 Alkhazov 等人使用的是费米密度分布, 因此本文结果(实线)和 Alkhazov 的结果(短虚线)稍有不同。

现在让我们来观察理论结果与实验结果的比较。对于微分截面而言, 能量较高的 1000 MeV 情况, 理论和实验符合较好; 但在其它四个能量下, 则与实验符合不好, 特别是在较低能量的 200 MeV, 甚至在小角度区理论也与实验有相当的偏离。对于自旋的分析

能力  $P$ , 可以看到, 除了  $700\text{MeV}$  的情况外, 理论都与实验有一定偏离。特别是对于  $200$  和  $1000\text{MeV}$  的情况, 偏离是很大的。从图 6 中可以看到, 对于自旋转动量  $Q$ , 也同样显示出理论与实验间的偏差。统观整个中能区的理论与实验比较的情况, 我们可以看到, 本文所使用的理论模型不能系统地符合实验结果。

由于本文所使用的模型相对简单, 它只包括两个最基本的因素: 自由  $p$ -N 振幅和从电子散射定出的核子密度, 因此人们马上就会说: 产生上述理论与实验偏离的原因是由于忽略的因素很多, 例如泡里效应, 费米运动, 核子关联等等。但是, 很多研究已经表明, 上述这些效应对大动量转移区(第二个“谷”后面)有一定影响, 但对于本文中所涉及的动量转移区域(仅在第一个“谷”前后), 其影响是很小的, 远不足以弥合这里所显示出的偏差。对于质子核散射中理论与实验出现偏离, 人们常常提出的另一个理由是, 目前所获得的  $p$ -N 振幅尚不够精确。这确实是一个重要因素, 但需要认真地做定量的研究后才能回答。而不能像在很多研究中所做的那样, 调节输入量的  $p$ -N 振幅参数去符合  $p$ -核散射的实验数据。这实际上是绕过了问题, 而不是解决。现在, 如果把本文的结果与文献[4]中基于  $\alpha$  粒子模型所得到的结果相对照(那里的结果比本文的结果更符合实验), 将会启发

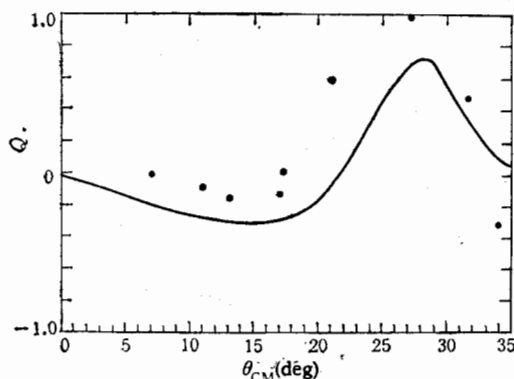


图 6  $200\text{MeV}$  下  $p$ - $^{12}\text{C}$  弹性散射的自旋转动量  
实验数据取自[2]

人们沿着一个新的途径去思索: 这里面是否隐含着一个关于  $^{12}\text{C}$  核的基本结构问题存在?

### 参 考 文 献

- [1] K. W. Jones et al., *Phys. Rev.*, **C33**(1986), 17.
- [2] O. P. Murdock and C. J. Hnowitz, *Phys. Rev.*, **C35**(1986), 1442.
- [3] E. Bleszynski et al., *Phys. Rev.*, **C37**(1988), 1527.
- [4] Zhou Jin-li and Li Qing-run, to be published.
- [5] G. D. Alkhazov et al., *Phys. Lett.*, **70B**(1977), 20.
- [6] R. J. Glauber, in *Lectures in Theor. Phys.* Vol. 1, ed. W. E. Brittin and L. G. Dunham, Interscience New York (1959).
- [7] P. Goldammer, *Rev. Mod. Phys.*, **35**(1963), 40.

- [8] E. Kjuawski, *Phys. Rev.*, **C1**(1970), 165.  
[9] R. A. Arndt et al., *Phys. Rev.*, **D28**(1983), 97.  
[10] J. P. Auger, J. Gillespie and R. J. Lombard, *Nuc!. Phys.*, **A262**(1976), 372.

## A Study of the Cross Sections and the Spin Observables for $p-^{12}C$ Scattering in the Intermediate Energy Region

HE GANMING

(Department of Physics, Guizhou Normal University Guiyang 550001)

LI QINGRUN

(Institute of High Energy Physics, Academia Sinica Beijing, 100039)

### ABSTRACT

The differential cross sections and the spin observables of  $p-^{12}C$  elastic scattering in the whole intermediate energy region are calculated in the Glauber theory. The theoretical results show considerable deviations from the experimental data.